

K₀-재하/제하에 의한 건조모래의 거동(Ⅱ): 다주기 시험

Behaviour of Dry Sand under K₀-Loading/Unloading
Conditions(Ⅱ) : Hysteretic Test

정 성 교*¹ 송 무 효*²
Chung, Sung-Gyo Song, Mu-Hyo

정 진 교*³ 남 선 우*³
Chung, Chin-Gyo Nam, Sun-Woo

Abstract

In order to investigate the characteristics of the lateral earth pressure at rest under hysteretic K₀-loading/unloading conditions. Seven types of multi-cyclic models have been studied experimentally using dry sand. For this study a new type of K₀-oedometer apparatus is developed, and horizontal pressure is accurately measured. The multi-cyclic models consist of largely 3 cases : (i) K₀-test under the same loading/unloading condition, (ii) multi-cyclic loading/unloading K₀-test exceeding the maximum pre-vertical stress, and (iii) multi-cyclic loading/unloading K₀-test within the maximum pre-vertical stress.

As a result, the multi-cyclic model showed that single-cyclic model could be extended as well, in which the exponents for unloading condition(α and α^*) and the reloading coefficients(m , and m^*) were mainly dependent upon type of stress model, number of cycles and relative density.

요 지

다주기 K₀-재하/제하 시에 수평응력의 변화특성을 관찰하기 위하여 7종류의 시험모형을 선정하였고, K₀조건을 크게 만족할 수 있도록 특별히 고안한 압밀링 형태의 K₀-시험기를 제작하여 실내 건조된 모래에 대하여 실험을 수행하였다. 시험모형은 동일한 재하/제하 응력의 반복, 최대선행응력을 초과하는 반복 재하/제하, 그리고 최대선행 연직응력 내의 반복 재하/제하 K₀-시험으로 구분된다.

*¹ 정회원, 동아대학교 토목공학과 교수

*² 정회원, 동의대학교 토목공학과 교수

*³ 정회원, 동아대학교 토목공학과 박사과정

실험결과에서 다주기 이력모형도 역시 기존의 단주기 이력모형을 확대하여 사용할 수 있음을 보였다. 여기서, 제하시의 지수 (α 및 α^*)와 재재하 시의 계수 (m , 및 m^*)는 응력이력의 형태, 반복회수 및 상대밀도에 따라 주로 지배되었다.

1. 서 론

지반해석을 수행할 때 토질기술자는 먼저 지반의 초기응력상태를 평가하며, 또한 외력으로 유발되는 지반응력의 변화를 정확히 예측하는 것이 중요한 문제이다. 이러한 해석중에 정지상태(K_0 상태) 즉, 수평변위가 무시된 상태의 해석을 많이 접하게 된다. 예로서, 계절적인 지하수위의 변동, 흙의 생성에 대한 지질학적인 역사 등으로 복잡한 이력을 지닌 실제지반의 평가, 그리고 교대, 매설암거, 지하벽체, 옹벽 및 보강토 옹벽의 뒤채움 다짐에 따른 토압해석 등이 있다. 이와 같이 복잡한 응력이력을 받는 경우에 수평토압을 정확히 산출하는 것이 절실히 요구되고 있지만, 현재까지의 연구결과는 극히 미흡한 실정이다.

기존의 실험적인 연구로써 Wright¹⁵⁾, Campanella & Vaid³⁾, Al-Hussaini & Townsend¹⁾ 등의 삼축압축시험의 결과 및 Ofer^{5,6,7,8)}와 Ou⁹⁾의 압밀시험 결과로 국한된 응력이력 조건 하에서 수행된 것이다. 그리고 복잡한 응력이력을 예측하기 위한 다주기 K_0 -응력모형이 Seed & Duncan^{10,11)}, Ou⁹⁾ 및 정¹⁸⁾에 의하여 제안되었지만, 국한된 시험결과 때문에 모형의 합리적인 입증은 어려운 실정이다.

따라서 본 연구를 위해서 손쉽게 K_0 값을 얻을 수 있으며, K_0 실험이 완료된 직후에 흙의 강도정수를 얻기 위한 시험이 가능하도록 특별히 고안된 압밀링형태의 K_0 시험기를 고안 제작하였다. 국내에서 표준사로 알려진 주문진 모래를 사용하여 실제현장에서 발생가능한 7가지 형태의 다주기 응력경로를 시험모형으로 설정하여 K_0 실험을 수행하였다. 본 실험을 통하여 다주기 K_0 -응력에 따라 제반 토질역학

적 특성을 규명하고자 하였다.

2. 기존의 연구결과

다주기 K_0 -실험결과는 삼축시험기를 사용한 Wright¹⁵⁾의 실험결과와 압밀링을 사용한 Campanella & Vaid³⁾, Ofer^{5,6,7,8)}, Ou⁹⁾의 실험결과 등으로 극히 제한되어 있다.

다주기 K_0 상태에서 응력의 거동을 정량적으로 표현하기 위하여 Seed & Duncan¹¹⁾은 다주기 K_0 -재하제하모형을 Fig. 1과 같이 제안하였으며, Ou⁹⁾ 및 정¹⁸⁾도 이와 유사한 응력경로 모형을 개발하였다.

이들은 처녀재하 및 재하 시에 연직 및 수평 응력의 비를 각각 식 (2.1)과 (2.2)와 같이 정의하였다.

$$K_{on} \approx 1 - \sin \phi' \quad (2.1)$$

$$K_{on} = K_{on}(OCR)^\alpha \quad (2.2)$$

여기서 OCR은 과압밀비이며, α 는 정지상태에서 응력제하변수로 정의되는 지수이다.

다주기 K_0 -재하 조건은 단주기 K_0 -재재하 조건을 포함하고 있는데, 단주기 K_0 -재재하 상태에 Seed & Duncan¹¹⁾의 모형에서는 Fig. 1에서와 같이 계수 β 를 사용하고 있다. 그러나 Mayne & Kulhawy⁴⁾는 K_0 -재재하 조건에서 σ_v' 와 σ_h' 의 직선적인 변화관계로 정의한 Wroth¹⁴⁾의 가설을 이용하여 식 (2.3)과 같이 정식화하였다.

$$\sigma_h' - \sigma_{h,\min}' = m_r (\sigma_v' - \sigma_{v,\min}') \quad (2.3)$$

여기서 m_r 은 재재하 계수, $\sigma_{v,\min}'$ 및 $\sigma_{h,\min}'$ 은

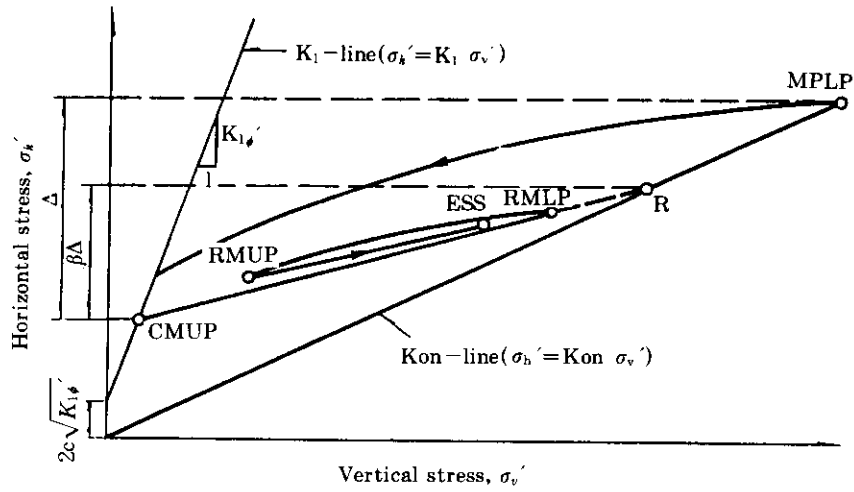


Fig. 1. Hysteretic K_o -loading/unloading model of Seed & Duncan⁽²⁰⁾

각각 재재하시의 초기 연직 및 수평응력을 각각 나타낸다. 그리고 이들은 15종류의 실험결과로부터 m_r 을 식 (2.4)와 같이 정의하였다.

$$m_r = \frac{3}{4}(1 - \sin\phi') = \frac{3}{4}K_{on} \quad (2.4)$$

따라서 단주기 K_o -재재하시의 정지토압계수 K_{or} 은 식 (2.5)와 같이 유도되었다.

$$K_{or} = K_{on} \left[\frac{OCR}{OCR_{max}^{(1-\alpha)}} \right] + m_r \left[1 - \frac{OCR}{OCR_{max}} \right] \quad (2.5)$$

여기서 OCR_{max} 는 최소연직응력 $\sigma'_{v,min}$ 에 대한 최대연직응력 $\sigma'_{h,min}$ 의 비이다.

Seed & Duncan⁽¹¹⁾의 모형에서 비처녀 재하 (nonvirgin unloading)시의 연직 및 수평 응력의 비는 식 (2.6)으로 정의하였다.

$$\frac{\sigma'_h}{\sigma'_v} = K_{on} \left[\frac{\sigma'_{v,RMLP}}{K_{on}\sigma'_{v,Ess}} \right]^{\alpha^*} \quad (2.6)$$

$$\text{여기서, } \alpha^* = \frac{\ln \left[\frac{\sigma'_{h,RMLP}}{K_{on}\sigma'_{v,CMUP}} \right]}{\ln \left[\frac{\sigma'_{v,RMLP}}{\sigma'_{v,CMUP}} \right]}$$

만약 식(2.6)에 의한 응력경로가 처녀재하경로보다 위로 벗어나는 경우에는 처녀재하경로를 따르도록 하였다. 그리고 처녀재재하시에 연직응력이 K_{on} 선과 일치하지 않을 경우에는 재재하경로(선)을 평행이동하는 수법을 사용하였다.

이 모형에서 비처녀 재재하 응력경로는 Fig. 1에서 점 RMLP(recent maximum loading point)로부터 점 R(K_o -reloading point)에 이르는 직선으로 생각하였으며, 점 R를 지나서는 점 MPLP(maximum past loading point)까지 K_{on} 선을 따르도록 하였다. 점 MPLP를 초과하는 응력에서는 처녀재하의 경우와 같이 되도록 하였다. 그리고 점 MPLP보다 작고 점 R을 초과할 경우에는 비처녀 재재하 응력의 최종점을 새로운 점 R로 정의하였다.

3. 실내실험

실내실험을 기술하기 위하여 필요한 시료 및

실험장치에 대해서는 “ K_0 -재하/제하에 의한 건조모래의 거동(I): 단주기 시험” 논문¹⁷⁾에서 상세히 기술되어 있으므로, 여기서는 단지 실험방법에 대해서만 언급하기로 한다.

단주기 K_0 -시험은 상대밀도 50% 및 85%인 시료에 대하여 크게 3가지 형태의 응력조건으로 시험모형을 설정하였다.

- 1) 동일한 재하/제하의 반복(시험모형 No. 3)
- 2) 최대선행응력을 초과하는 반복 재하/제하(시험모형 No. 4, 5 및 6)
- 3) 최대선행응력내의 반복 재하/제하(시험모형 No. 7, 8 및 9)

Table 1~Table 7은 위의 시험모형 No.3~No.9까지에 대한 실험방법을 나타낸다. 여기서 동일응력경로의 반복회수에 따른 영향을 좀 더 면밀히 관찰하기 위하여 모형 No.3, No.6 및 No.9에서 10회 이상의 반복회수를 설정하였다.

Table 1 Multi-cyclic K_0 -loading/unloading (Model No.3)

| Hysteresis No. | 1 | 2 | 3 | 4 |
|-------------------|-----|-----|-----|-----|
| $\sigma'_{v,max}$ | 3.0 | 3.0 | 3.0 | 3.0 |
| $\sigma'_{v,min}$ | 0.1 | 0.1 | 0.1 | 0.1 |
| $\sigma'_{v,r}$ | 3.0 | 3.0 | 3.0 | 3.0 |
| No. of cycle | 1 | 2 | 4 | 20 |

unit : kgf/cm²

Table 2 Multi-cyclic K_0 -loading/unloading (Model No.4)

| Hysteresis No. | 1 | 2 | 3 |
|-------------------|-----|-----|-----|
| $\sigma'_{v,max}$ | 1.0 | 1.6 | 3.0 |
| $\sigma'_{v,min}$ | 0.1 | 0.3 | 0.7 |
| $\sigma'_{v,r}$ | 1.6 | 3.0 | 3.0 |

unit : kgf/cm²

Table 3 Multi-cyclic K_0 -loading/unloading (Model No.5)

| Hysteresis No. | 1 | 2 | 3 |
|-------------------|-----|-----|-----|
| $\sigma'_{v,max}$ | 1.5 | 2.0 | 3.0 |
| $\sigma'_{v,min}$ | 0.1 | 1.0 | 1.8 |
| $\sigma'_{v,r}$ | 1.0 | 2.0 | 3.0 |

unit : kgf/cm²

Table 4 Multi-cyclic K_0 -loading/unloading (Model No.6)

| Hysteresis No. | 1 | 2 | 3 |
|-------------------|-----|-----|-----|
| $\sigma'_{v,max}$ | 1.0 | 2.0 | 3.0 |
| $\sigma'_{v,min}$ | 0.1 | 0.8 | 1.8 |
| $\sigma'_{v,r}$ | 1.0 | 2.0 | 3.0 |
| No. of cycle | 20 | 40 | 60 |

unit : kgf/cm²

Table 5 Multi-cyclic K_0 -loading/unloading (Model No.7)

| Hysteresis No. | 1 | 2 | 3 | 4 | 5 | 6 |
|-------------------|------|-----|-----|-----|-----|-----|
| $\sigma'_{v,max}$ | 3.0 | 3.0 | 3.0 | 3.0 | 3.0 | 3.0 |
| $\sigma'_{v,min}$ | 0.05 | 0.1 | 0.2 | 0.4 | 0.7 | 1.0 |
| $\sigma'_{v,r}$ | 3.0 | 3.0 | 3.0 | 3.0 | 3.0 | 3.0 |

unit : kgf/cm²

Table 6 Multi-cyclic K_0 -loading/unloading (Model No.8)

| Hysteresis No. | 1 | 2 | 3 | 4 | 5 |
|-------------------|-----|-----|-----|-----|-----|
| $\sigma'_{v,max}$ | 3.0 | 2.8 | 2.5 | 2.3 | 2.0 |
| $\sigma'_{v,min}$ | 0.1 | 0.5 | 0.8 | 1.0 | 1.2 |
| $\sigma'_{v,r}$ | 2.8 | 2.5 | 2.3 | 2.0 | 3.0 |

unit : kgf/cm²

Table 7 Multi-cyclic K_0 -loading/unloading (Model No.9)

| Hysteresis No. | 1 | 2 | 3 | 4 | 5 |
|-------------------|-----|-----|-----|-----|-----|
| $\sigma'_{v,max}$ | 3.0 | 2.8 | 2.5 | 2.3 | 2.0 |
| $\sigma'_{v,min}$ | 0.1 | 0.5 | 0.8 | 1.0 | 1.2 |
| $\sigma'_{v,r}$ | 2.8 | 2.5 | 2.3 | 2.0 | 3.0 |
| No. of cycle | 10 | 20 | 30 | 40 | 50 |

unit : kgf/cm²

4. 다주기 K_0 -재하/제하 시험결과

다주기 K_0 -시험결과에 얻은 각각의 응력경로는 지면 관계상 $D_r=50\%$ 에 해당하는 것만 Fig.2~Fig.8까지 나타내었으며, Fig.9은 시험

모형 No.3에 대한 연직응력과 변형의 관계곡선이다. 그리고 다주기 K_0 -시험 도중에 측정된 간극비에 대한 자료는 참고문헌(16)을 참고하기로 한다.

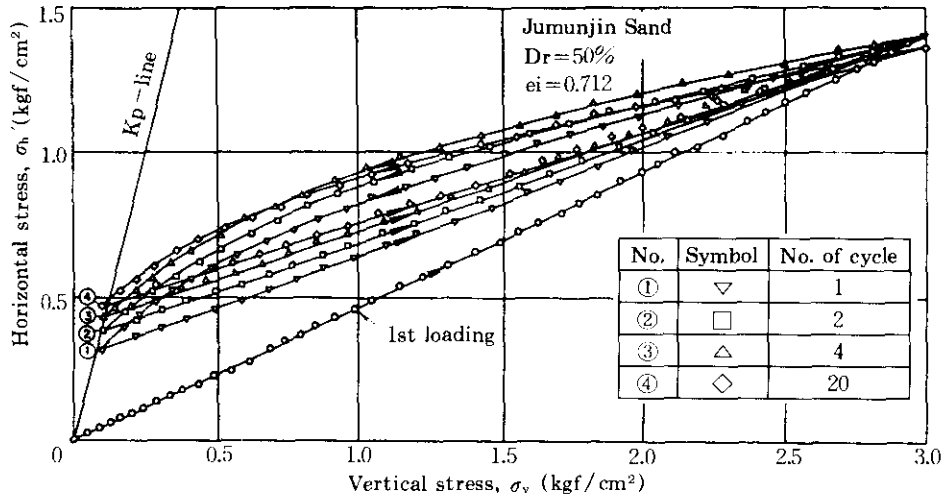


Fig 2. Stress path of multi-cyclic loading for model No.3($D_r=50\%$)

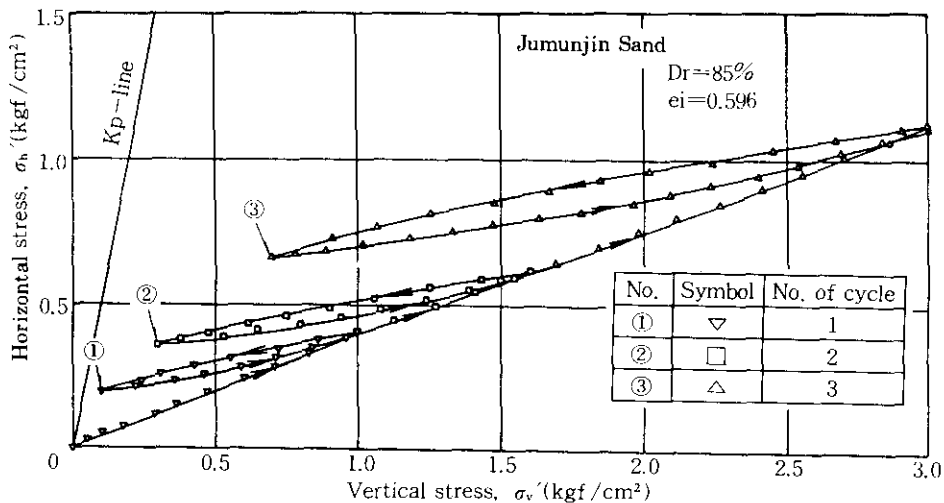


Fig 3. Stress path of multi-cyclic loading for model No.4($D_r=50\%$)

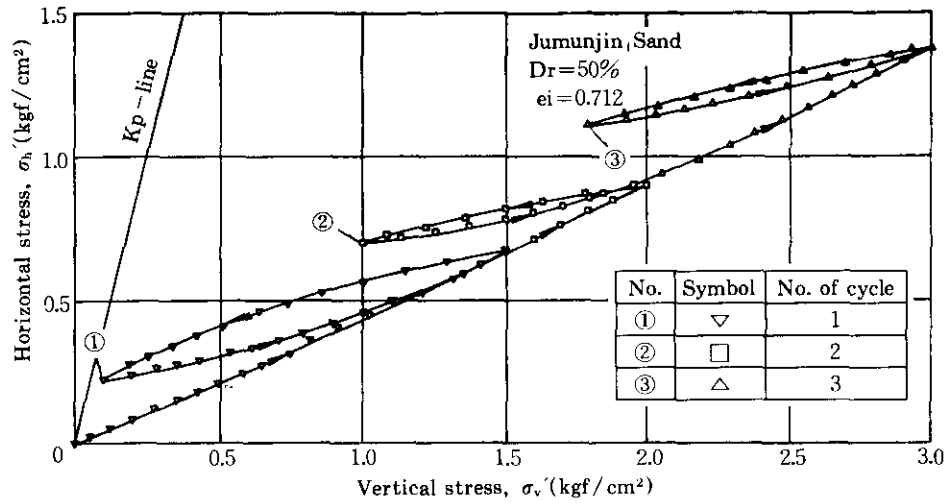


Fig 4. Stress path of multi-cyclic loading for model No.5(Dr=50%)

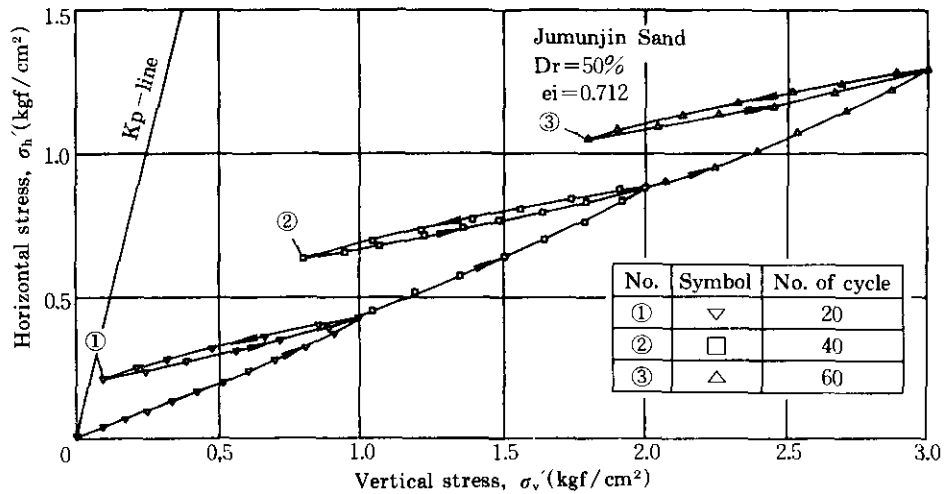


Fig 5. Stress path of multi-cyclic loading for model No.6(Dr=50%)

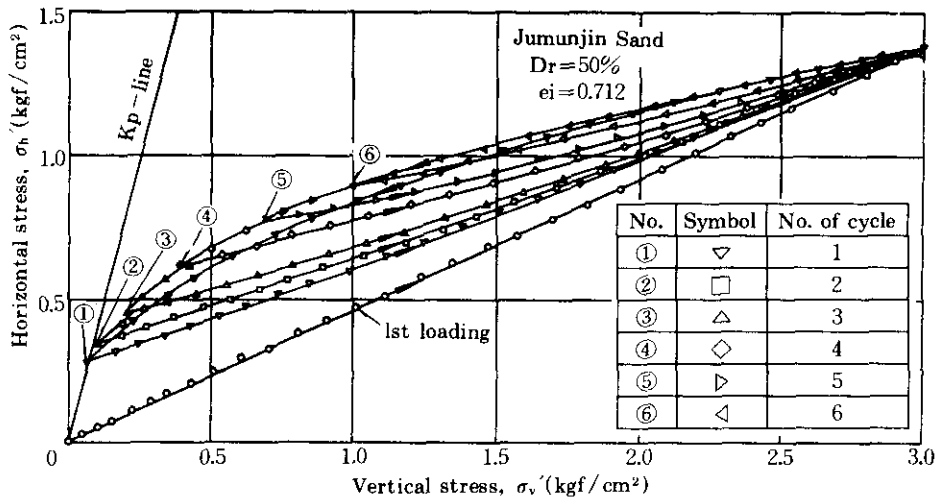


Fig 6. Stress path of multi-cyclic loading for model No.7(Dr=50%)

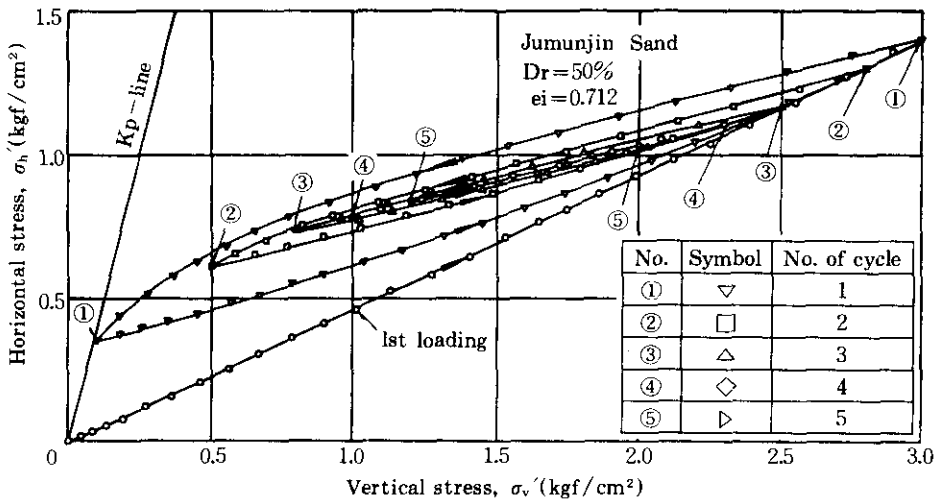


Fig 7. Stress path of multi-cyclic loading for model No.8(Dr=50%)

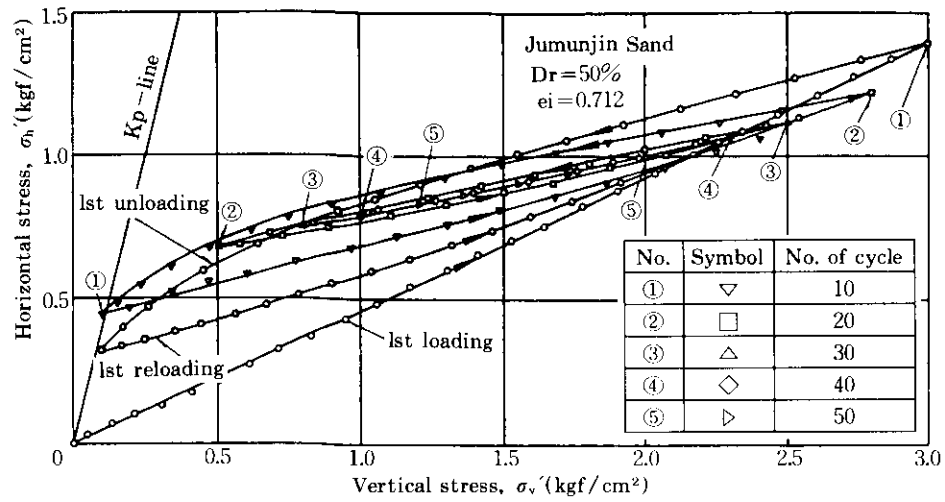


Fig 8. Stress path of multi-cyclic loading for model No.9(Dr=50%)

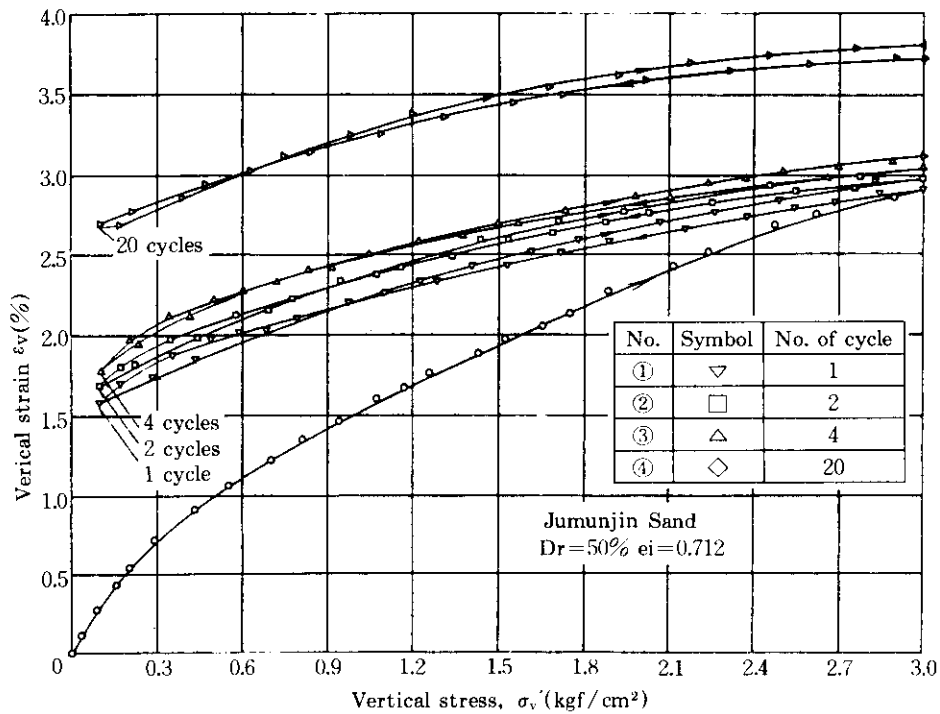


Fig 9. Vertical stress-strain path for multi-cyclic loading of model No.3(Dr=50%)

5. 실험결과의 분석 및 토의

5.1 동일한 재하/제하 응력의 반복

(1) 변형특성

시험모형 No.3의 경우는 동일한 응력의 재하 및 제하가 반복될 경우에 응력과 변위의 특성을 관찰하고자 채택한 모형이다. 본 실험에서는 연직응력을 3.0kgf/cm^2 까지 재하한 후 0.1kgf/cm^2 까지 제하하는 과정을 20회 반복한 것이다. 이 결과는 Fig.2에서 볼 수 있듯이 이력고리(hysteresis loop)가 1회에서 2회 반복을 할 때 σ_v 가 3.0kgf/cm^2 에서 수평응력은 거의 고정인 반면에 σ_v 가 0.1kgf/cm^2 에서 수평응력의 증가폭은 2회에서 4회 반복에 이르는 증가폭보다 더 크음을 알 수 있으며, 4회에서 20회 반복에 이를 때는 증가폭이 미소하였다.

상기의 이력고리의 양상은 재하된 연직응력에 대한 연직변형(vertical strain)의 관계를 나타낸 Fig.9에서도 알 수 있다. 이력고리가 1회에서 2회 사이에는 체적변형이 상당히 증대하였으며, 2회와 4회의 이력고리로 갈수록 점차 체적변형의 증가폭이 감소하였으나, 4회를 초과해서도 계속하여 변형이 증대되어 20회 반복 후에 변형은 2.7~3.8%에 이르렀다. 이 그림에서 보면, $0.7\sim 0.9\text{kgf/cm}^2$ 보다 작은 연직응력의 부분에서 이력고리가 꼬여있는 양상을 관찰할 수 있는데, 이것은 하중의 제거(제하)에 따른 시편의 체적이 다소 팽창되었다는 것을 나타내고 있다. 이러한 영향으로 20회의 반복회수가 작은 경우보다 크며, 0.9kgf/cm^2 보다 큰 연직응력의 범위에서는 간극비의 변화에 따라 크게 좌우되었음을 알 수 있었다.

동일한 응력의 제하 및 재하가 반복될 경우에 연직 및 수평응력의 관계를 나타낸 Fig.2와 연직변형의 변화를 나타낸 Fig.9에서 보면, 두 경우 모두 Tatsuoka & Ishihara¹²⁾, Tatsuoka¹³⁾의 시험결과와 같이 선행하중의 방향과 동일하게 재하될 경우는 변형의 증가폭이 점차 감소하고 수평응력은 증대한다는 사실을 알 수 있

었다. 다시 말해서, 사질토에서 응력이력은 선행응력(prestress)의 성질과 관련된 변형의 크기에 따라 거동에 영향을 미친다는 것이다. 그리고 K_0 상태에서 반복되는 선행응력은 흙을 점차 조밀하게 만들며, 수평응력은 어느 범위까지 점차 증가하게 됨을 나타내고 있다.

(2) 재 하

동일한 응력의 재하/제하가 반복될 경우에 재하특성을 살펴보기 위하여 먼저 반복회수에 따라 재하곡선의 기울기로 정의된 재재하계수 m_r 의 변화를 살펴보았다. Table 8과 Fig.10은 반복회수와 m_r 의 관계를 나타낸 것이다.

Table 8 및 Fig.10에서 볼 수 있는 바와 같이, 상대밀도가 50% 및 85%인 경우에 모두 반복회수가 증가할수록 재재하선(reloading line)의 기울기 m_r 은 점차 감소하고, 모래가 조

Table 8 The reloading coefficient m_r for model No.3

| Dr(%) | No. of cycle | | | | Remarks |
|-------|--------------|------|------|------|------------------|
| | 1 | 2 | 4 | 20 | |
| 50 | 0.37 | 0.35 | 0.33 | 0.31 | $3/4K_{on}=0.46$ |
| 85 | 0.29 | 0.27 | 0.26 | 0.23 | $3/4K_{on}=0.37$ |

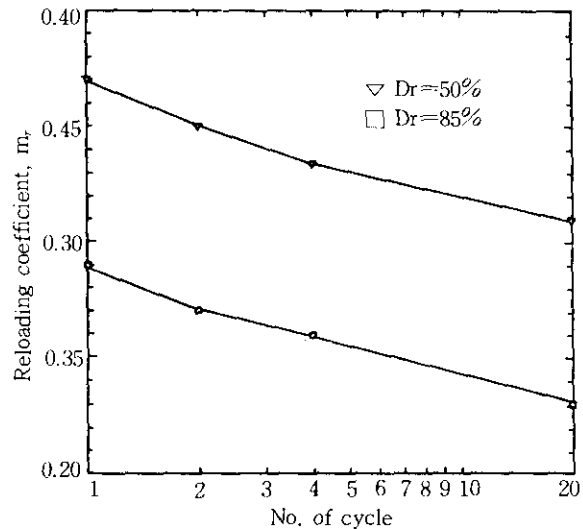


Fig 10. No. of cycle vs. m_r

밀할수록 작다는 사실을 알 수 있었다. 그러나 반복회수가 증가하여도 최대 선행연직응력에서 수평응력이 동일하므로, Seed & Duncan¹¹⁾이 제안한 다주기 응력모형인 Fig.1에서 계수 β 는 그들이 추천한 0.6값과는 상이하게 거의 모든 경우에 1.0으로 얻어졌었다. 그리고 동일한 응력으로 재하 및 제하되는 경우에 m_r 은 Wroth¹⁴⁾가 제안한 바와 같이 직선적으로 변함을 알 수 있었으나, Table 8에서 보면 Mayne & Kulhawy⁴⁾가 제안한 $m_r=3/4 K_{or}$ 으로 일정하지 않고 반복회수에 따라 m_r 이 작아짐을 알 수 있다.

재재하시의 연직응력 σ_v' 에 대한 정지토압계수 K_{or} 의 변화를 관찰하기 위한 측정 곡선과 이론곡선은 Fig.11과 같이 비교하였다. 여기서 실선은 Mayne & Kulhawy⁴⁾가 제안한 재재하시의 수평토압계수를 산출하는 식(2.5)를 이용하여 구한 이론식이다.

K_{or} 값은 상대밀도가 50 및 85% 모두 최대선행응력과 동일한 연직응력 σ_v' 가 3.0kgf/cm² 가까이에서 거의 일치하고 있으나, 역시 σ_v' 가 1.0kgf/cm² 이하에서는 급격한 변화를 보여주

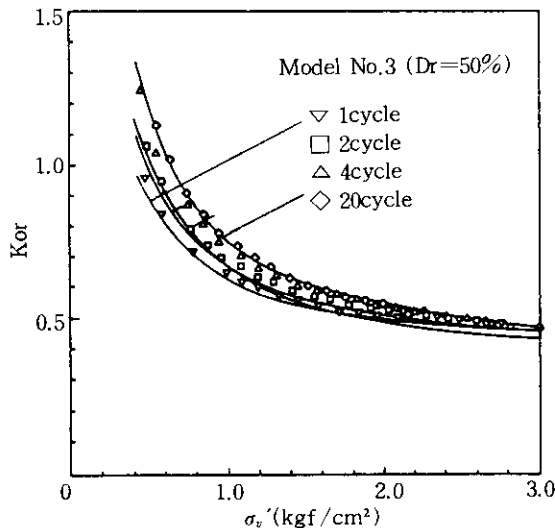


Fig 11. K_{or} vs. σ_v' relationship for nonvirgin reloading (Model No. 3)

고 있다. 그리고 단주기의 경우에는 두값이 거의 일치하지만, 반복회수가 증가할수록 m_r 값이 작아지므로 계산치와 실측치의 차이는 큰 폭으로 증가하고 있음을 알 수 있다.

한편으로, 특이한 점은 반복회수가 20회를 상회할 경우에 σ_v' 가 2.7~2.8kgf/cm² 부근에서 재재하곡선이 처너재하곡선에서 벗어남을 Fig.2에서 볼 수 있었다. 즉, 이부근에서 수평응력은 처너재하시의 경우보다 감소하였다는 것이다. 이 원인은 다음과 같은 개념으로 추론이 가능할 것으로 생각된다.

재하를 받는 시편이 등방성인 완전탄성체로 거동한다고 가정하면 포와송비 μ (Poisson's ratio)는

$$\mu = \frac{K_{or}}{1+K_{or}} \quad (5.1)$$

와 같이 표현할 수 있다. 여기서 K_{or} 는 재재하시의 정지토압계수 K_{or} 을 대입하여 포와송비를 계산하였으며, 이것을 D_r 이 50% 일 경우에 σ_v' 와 함께 나타낸 것이 Fig.12이다.

이 그림에서 볼 수 있는 바와 같이 이것은 $K_{or}-\sigma_v'$ 관계의 거동과 비슷한 양상을 보여주며, 반복회수가 증가할수록 포와송비는 크게 계산되었다. 그러나 반복회수가 20회인 경우에, 그림에서 잘 나타나지 않으나, σ_v' 가 2.7kgf/cm²를 초과하는 범위에서는 1회 때의 값보다 작은 포와송비의 값을 나타내고 있다. 그리고 Fig.9에서 보면, 전반적으로 반복회수가 증가하면 체적이 감소하였지만 위의 응력범위에서는 재하중 임에도 불구하고 흙의 체적이 팽창하는 것을 알 수 있다. 이러한 사실들을 미루어 보아 K_{or} 값이 K_{on} 보다 작게 산출될 수도 있음을 알 수 있다.

(3) 제 하

반복회수에 따른 제하특성을 살펴보기 위하여 Fig.2에서 보면, 연직응력의 초기부분에서 반복회수가 증가할수록 수평응력이 증가함을

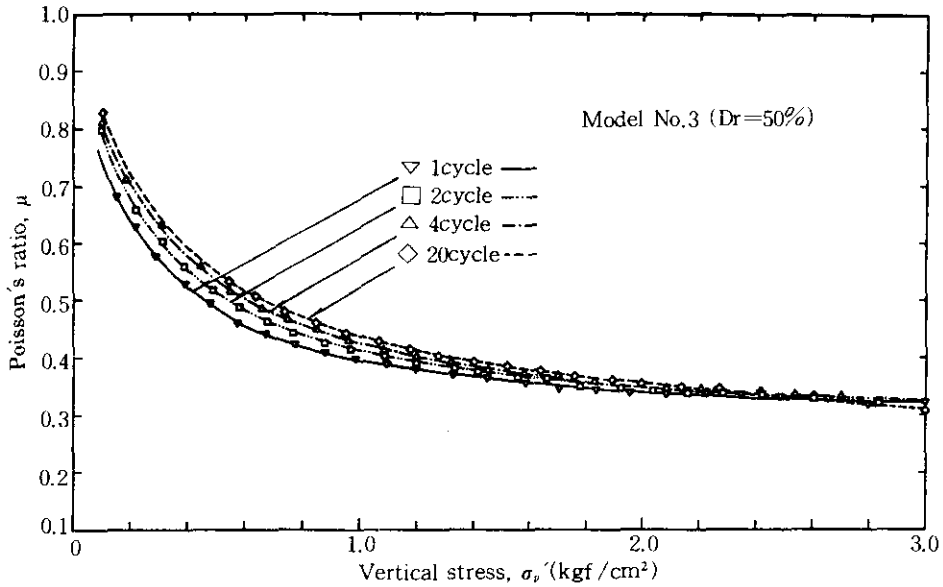


Fig. 12. μ vs. σ_v' relationship for nonvirgin reloading (Model No.3)

알 수 있다. 그러나 이 외의 부분에서는 반복회수가 증가함에 따라 수평응력은 약간씩 증가하지만, 반복회수가 20회에 이르러서는 오히려 포와송비는 작게 나타났다.

제하특성은 $K_{ou} = K_{on}(OCR)^\alpha$ 의 관계식에서 지수 α 의 변화로부터 찾을 수 있다. Fig.13은 $\log(K_{ou}/K_{on})$ 과 $\log(OCR)$ 의 관계를 나타낸 것이며, Fig.14는 Fig.13에서 직선의 기울기인 지수 α 를 구하여 반복회수와 함께 비교한 것이다. 그림에서 보면, 단주기의 경우와 같이 K_{ou}/K_{on} 과 OCR은 일정한 관계로 변하며, 지수 α 의 상대밀도가 클수록 크게 산출되고, 대체로 반복회수가 증가할수록 α 값은 증가하며, 그 증가율은 반복회수가 증가할수록 감소한다.

한편, $(K_{ou})_{limit}$ 값은 K_p 값을 비교하기 위하여 Fig.2를 살펴보면, 단주기의 경우와 비슷하게 $(K_{ou})_{limit}$ 값이 K_p 값을 초과하고 있다. 이러한 원인은 단주기에서 지적된 것 이외에도 반복회수에 따라 간극비가 감소한 이유 등을 들 수 있다.

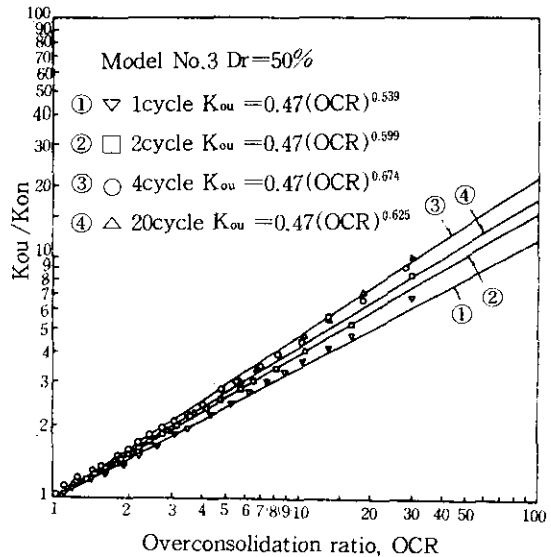


Fig. 13. K_{ou} / K_{on} vs. OCR relationship for model No.3

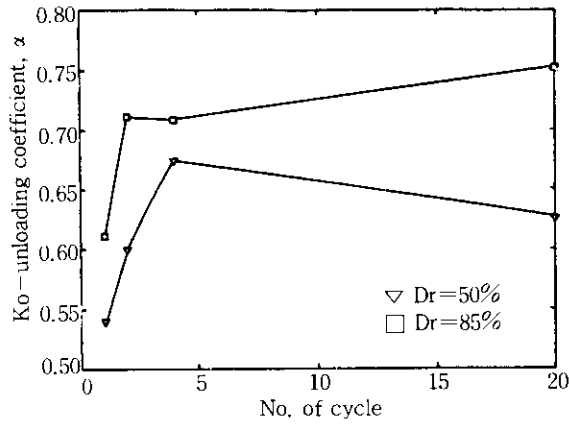


Fig 14. α vs. No. of cycle for model No.3

5.2 최대선행응력을 초과하는 반복 재하/제하

최대선행응력을 초과하는 반복 재하/제하시 모래의 특성을 관찰하기 위하여 3개의 응력모형, 즉 시험모형 No. 4, 5 및 6을 채택하였다.

Table 9 The exponent α for unloading paths

| Model No. | No. of cycle | $\sigma'_{v,max}$ | $\sigma'_{v,min}$ | OCR _{max} | $\alpha^{(a)}$ | $K_{on}^{(a)}$ | Remarks ^(a) |
|-----------|--------------|-------------------|-------------------|--------------------|------------------|----------------|----------------------------------|
| 4 | 1 | 1.0 | 0.1 | 10.0 | 0.707 (0.723) | 0.45 (0.37) | sin ϕ = 0.605 (0.668) |
| | 2 | 1.6 | 0.3 | 5.3 | 0.702 (0.695) | | |
| | 3 | 3.0 | 0.7 | 4.3 | 0.628 (0.662) | | |
| 5 | 1 | 1.5 | 0.1 | 15.0 | 0.529 (0.591) | 0.46 (0.37) | |
| | 2 | 2.0 | 1.0 | 2.0 | 0.593 (0.699) | | |
| | 3 | 3.0 | 1.8 | 1.7 | 0.567 (0.607) | | |
| 6 | 20 | 1.0 | 0.1 | 10.0 | 0.676 (0.679) | 0.43 (0.35) | |
| | 40 | 2.0 | 0.8 | 2.5 | 0.636 (0.722) | | |
| | 60 | 3.0 | 1.8 | 1.7 | 0.514 (0.605) | | |

Note.(a) : The value in parenthesis is for Dr of 85%

여기서 변형의 특성은 전자의 5.1절의 경우와 유사한 특성이므로 생략하였다.

(1) 재 하

최대 선행연직응력을 초과하는 연직응력이 작용할 경우 처너재하의 경우와 같이 K_{on} 선은 직선으로 나타났으며(Fig.3~5), K_{on} 값들은 처너재하의 경우와 비슷하였다. 3단계의 응력경로에 대해 각각 20회씩의 반복 재하/제하를 시킨 시험모형 No.6에서는 $D_r=50\%$ 에 대해 3단계에서, $D_r=85\%$ 에 대해 2단계 후반부터 약간씩 곡선형태로 나타나지만 거의 직선으로 볼 수 있다.

(2) 제 하

최대선행연직응력을 초과하고 응력경로를 달리하는 경우에 지수 α 의 변화를 관찰하기 위하여 시험모형 No.4, No.5 및 No.6에 대하여 Fig.13과 같이 K_{ou}/K_{on} -OCR의 관계 곡선으

로부터 기울기 α 를 구하여 Table 9에 각각의 시험모형별로 α 값을 수록하였다. 여기서 $\sigma_v'_{max}$ 는 제하직전(시작점)의 연직응력이며, $\sigma_v'_{min}$ 은 제하 종료시의 연직응력을 나타낸다. 이 표에서 보면, 상대밀도 50 및 85%에서 각각 K_{or} 값은 비슷하나 지수 α 값은 반복회수에 따라 일정한 상관성을 찾아 볼 수 없다. 그 이유는 반복회수가 증가함에 따라 간극비가 변하기 때문이다.

한편, 시험모형 No.6에서 α 와 반복회수와의 관계를 살펴보면, 3단계의 응력경로마다 각각 20회씩 반복 재하/제하한 경우에는 지수 α 값이 반복응력과 반복회수가 증가함에 따라 줄어드는 경향이 있다.

(3) 재재하

실측한 m_r 값을 Mayne & Kulhawy⁴⁾가 제안한 식(2.5)에 대입하여 계산한 K_{or} 값과 함께 대표적으로 시험모형 No.5의 $D_r=50\%$ 에 대하여 Fig.15에 나타나어 비교하였다. 시험모형 No.4, No.5 및 No.6에 대한 비교에서, 계산치의 K_{or}

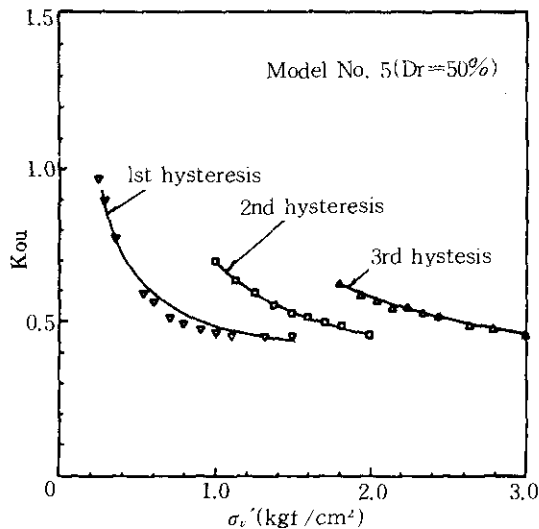


Fig 15. K_{or} vs. σ_v' relationship for Model No.5

과 실측치는 비교적 좋은 일치를 보여주고 있다. 그리고 K_{or} 은 연직응력 σ_v' 값이 증가함에 따라 급격히 감소하고, 하중의 반복회수가 늘어날수록 증가함을 볼 수 있다.

5.3 최대 선행응력 내의 반복 재하/제하

최대 선행응력 내에서 연직응력을 반복하여 재하/제하하는 경우에 K_{or} -응력의 특성을 관찰하기 위하여 첫째, 최대 선행 연직응력과 동일하게 최대재하응력으로 취하고 제하 연직응력의 최소점을 달리하여 6회의 반복 재하/제하하는 경우를 시험모형 No.7로 선택하였다. 둘째, 최대 선행 연직응력보다 작은 연직응력을 각각 최대와 최소점으로 취하여 5회의 반복 재하/제하하는 경우를 시험모형 No.8로 선택하였다. 마지막으로 시험모형 No.8의 경우와 유사하게 응력경로를 선정하였으나 각각의 응력 주기마다 10회씩 반복하여 재하/제하하여 총 5가지 응력주기에 대해서 모두 50회 반복하중을 가한것이 시험모형 No.9이다.

(1) 재 하

치너재하는 최대 선행 연직응력을 초과하지 않는 연직응력을 작용시킬 경우로 정의하였으므로 위의 3경우에서 1단계 재하는 모두 치너 재하에 해당하며, 여기서는 설명을 생략한다.

(2) 제 하

연직응력이 최대 연직응력을 초과하지 않는 범위에서 응력경로가 움직이므로, 이 경우는 Seed & Duncan¹¹⁾, Ou¹²⁾ 및 정¹³⁾이 제안한 응력 모형과 함께 비교가 가능할 것이다. 상기의 연구자들에 의해 제안된 비치너 제하시의 정지토 압계수 K_{ou}' 는 식(5.2)와 같다. 즉,

$$K_{ou}' = K_{on}(OCR)^{\alpha} \quad (5.2)$$

이다. 여기서

$K_{on}' = \text{비처너 제한인 경우에 } \frac{\sigma_v'}{\sigma_h'}$ 의 값

$$OCR_n = \frac{\sigma_v' \cdot RMLP}{\sigma_v' \cdot \sigma_{v,Ess}} \quad (\text{Fig.2.1 참조})$$

이 관계식으로부터 α^* 를 구하였다. 만약 재재하선이 K_{on}' 선과 일치하지 않을 경우에는 재재하선을 평행이동시켜 조정하는 Seed & Duncan¹¹⁾의 방법에 따라 구하였다.

이들의 실측치와 Seed & Duncan이 제안한 식(2.18)에 의한 계산치를 Table 10에서 비교하여 나타내었다. 여기서, OCR_{max} 는 모든 응력 경로중에서 최대와 최소치의 연직응력의 비이며, OCR_n 은 해당되는 제한경로에서 두 값의 비이다.

Table 10에서 보면, 연직응력이 최대선행응력으로 복귀하여 반복하는 시험모형 No.7의 경우에는 반복회수에 따라 α^* 값은 거의 변함이 없으며, 실측치와 계산치는 대략 비슷하다. Fig.16에 나타낸 α^* 값은 시험모형 No.8에 대한 실측값으로, OCR_n 에 무관하게 반복회수가 증가할수록 대체로 증가하는 경향을 보여주며, 이 값은 계산치와의 사이에 약간의 차이가 있음을 Table 10에서 볼 수 있다. 그리고 시험모형 No.9에 대한 α^* 의 실측치는 상대밀도가 50%일 때 α^* 값은 반복회수와 무관하게 대체로 일정한 값으로 나타나며, 상대밀도가 85%일 때는 반복회수가 증가함에 따라 같이 증가하는 경향을 보이고 또한 계산치와는 약간의 차이가 있음을 알 수 있었다.

Table 10 The exponent α^* value for model No.7, 8 and 9

| Model No. | No. of cycles | OCR_{max} | OCR_n | Measured ^(a) α^* | Calculated ^(a) α^* | Remarks |
|-----------|---------------|-------------|---------|------------------------------------|--------------------------------------|---------------------|
| 7 | 1 | 60 | 60.0 | 0.556 (0.675) | 0.562 (0.672) | $\alpha^* = \alpha$ |
| | 5 | | 4.3 | 0.583 (0.667) | 0.599 (0.663) | |
| 8 | 1 | 30 | 30.0 | 0.547 (0.593) | 0.590 (0.607) | $\alpha^* = \alpha$ |
| | 2 | | 5.6 | 0.486 (0.573) | 0.554 (0.627) | |
| | 3 | | 3.1 | 0.547 (0.634) | 0.582 (0.625) | |
| | 4 | | 2.3 | 0.584 (0.724) | 0.561 (0.626) | |
| | 5 | | 1.7 | 0.923 (1.032) | 0.505 (0.601) | |
| 9 | 10 | 30 | 28.0 | 0.596 (0.605) | 0.685 (0.714) | $\alpha^* = \alpha$ |
| | 20 | | 5.0 | 0.553 (0.602) | 0.660 (0.683) | |
| | 30 | | 2.9 | 0.665 (0.596) | 0.654 (0.644) | |
| | 40 | | 2.0 | 0.578 (0.789) | 0.615 (0.610) | |
| | 50 | | 1.7 | 0.594 (0.913) | 0.584 (0.570) | |

Note.(a) : The value in parenthesis is for Dr of 85%

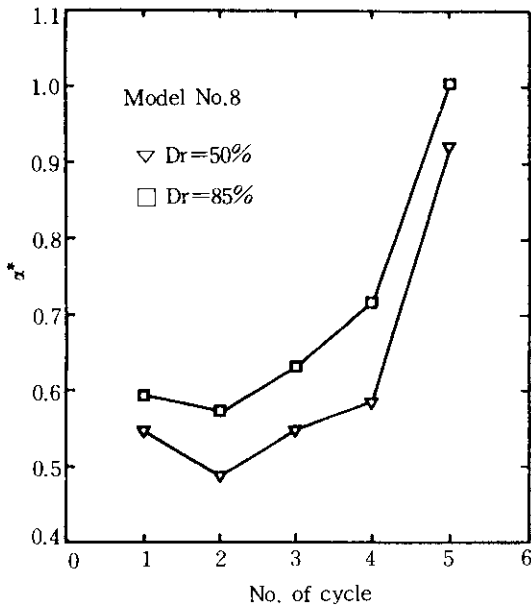


Fig. 16. α^* vs. No. of cycle for model No.8

(3) 재재하

비처너 재재하 시의 응력경로의 기울기는 Seed & Duncan¹¹⁾, Ou¹³⁾ 및 정¹⁸⁾에 의하면, Fig.1에서 RMUP(recent minimum unloading point)와 R점을 잇는 선을 기울기로 하였다. 여기서, 이 기울기는 m_r^* 의 계산치로, 실험에서 나타난 기울기를 실측치의 m_r^* 로 정의하여 Table 11에서 비교하여 나타내었다.

이 표에서 보면, 시험모형 No.7의 경우에는 R점이 최대 연직응력이므로 모든 경우에 계산치와 실측치는 정확히 일치하였다.

시험모형 No.8의 경우에는 두 값들은 다소 차이를 보였지만 대략 일치함을 볼 수 있다. Fig.17은 반복회수에 따른 m_r^* 의 실측치를 나타낸 것인데, 반복회수가 증가함에 따라 점차 감소하다가 3회의 반복회수에 이르러서는 거의 일정한 값으로 되며, 상대밀도가 작은 경우가 더 큰 m_r^* 값을 보여주고 있다.

5단계의 응력경로마다 10회씩 반복주기를

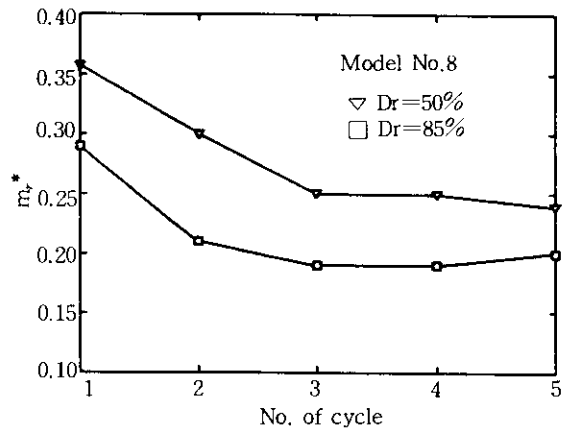


Fig. 17. m_r^* vs. No. of cycle relationship for model No.8

가한 시험모형 No.9의 경우에는 Fig.8에서 보는 바와 같이 재재하선이 K_{on} 선을 벗어나고 있다. 재재하선이 K_{on} 선을 벗어난 요인은 응력-변형 곡선에서 10회의 반복재하로 인하여 최종 재하값의 부근에서 체적이 약간 팽창된 까닭으로 생각되었다.¹⁸⁾ 즉, 이러한 현상은 시험모형 No.6의 경우에서도 볼 수 있었다. 시험모형 No.9의 경우에는 m_r^* 의 실측치와 계산치가 거의 일치함을 Table 11에서 관찰할 수 있다. 그리고, Fig.17은 반복회수에 따른 m_r^* 값의 비교인데, 대체로 반복회수에 따라 m_r^* 값의 변화가 예민하지 않으며, 상대밀도가 작을수록 큰 값을 나타내고 있다.

6. 결 론

K_0 상태에서 다주기 재하/제하시의 응력이력에 따른 수평응력의 변화특성을 관찰하기 위하여 실제 현장에서 예상되는 7가지 시험모형을 선정하였고, K_0 조건을 크게 만족할 수 있도록 특별히 고안한 압밀링형태의 K_0 -시험기를 제작하여 실내 건조된 모래에 대하여 실험한 결과 다음의 결론을 얻었다.

- 1) 동일한 재하/제하 응력의 반복 K_0 -시험에서 K_{on} 값은 거의 변함이 없이 일정하다.

Table 11 The nonvirgin reloading coefficient m_r^* value

| Model No. | No. of cycles | OCR _{max} | OCR _n | Measured ^(a) m_r^* | Calculated ^(a) m_r^* | Remarks |
|-----------|---------------|--------------------|------------------|------------------------------------|--------------------------------------|---------------|
| 7 | 1 | 60 | 60.0 | 0.370 (0.280)(c) | 0.370 (0.280) | $m_r^* = m_r$ |
| | 5 | | 4.3 | 0.260 (0.200) | 0.260 (0.200) | |
| 8 | 1 | 30 | 30.0 | 0.360 (0.290) | 0.360 (0.290) | $m_r^* = m_r$ |
| | 2 | | 5.6 | 0.300 (0.210) | 0.300 (0.210) | |
| | 3 | | 3.1 | 0.250 (0.190) | 0.280 (0.210) | |
| | 4 | | 2.3 | 0.250 (0.180) | 0.280 (0.210) | |
| | 5 | | 1.7 | 0.240 (0.160) | 0.290 (0.210) | |
| 9 | 10 | 30 | 28.0 | 0.280 (0.220) | 0.260 (0.210) | |
| | 20 | | 5.0 | 0.220 (0.180) | 0.220 (0.160) | |
| | 30 | | 2.9 | 0.210 (0.180) | 0.210 (0.180) | |
| | 40 | | 2.0 | 0.200 (0.210) | 0.210 (0.180) | |
| | 50 | | 1.7 | 0.210 (0.200) | 0.200 (0.180) | |

Note.(a) : The measured value is the slope of linear regression line.

(b) : The calculated value is the secant slope.

(c) : The value in parenthesis is for D_r of 85%

재하시에는 단주기의 경우와 같은 관계식이 역시 성립하며, 지수 α 는 상대밀도가 클수록 크게 산출되고, 반복회수가 증가할수록 대체로 증가한다. 재재하시에 재재하계수 m_r 은 반복회수가 증가할수록 감소하고, 상대밀도가 클수록 크다.

- 2) 최대선행응력을 초과하는 반복 재하/제하 K_o -시험에서 재하시에는 처너재하시와 비슷하다. 제하시의 토압계수는 처너재하시의 관계식으로 표시할 수 있지만,

지수 α 는 반복회수에 따라 감소하는 경향이 있고 상대밀도가 클수록 대체로 크다. 재재하시의 정지토압계수 K_{ou} 은 처너재재하시의 특성과 유사하며, 하중의 반복회수가 늘어날수록 증가함을 보인다.

- 3) 최대선행연직응력 내의 반복 재하/제하 K_o -시험인 경우, 제하정지토압계수 K_{ou}' 는 $K_{ou}' = K_{on}(OCR)^*$ 의 관계를 보이며, 지수 α^* 는 대체로 하중의 반복회수가 증가할수록 증가하는 양상을 나타낸다. 재재

하계수 m_v^* 는 초기 1~2회 반복에서 완만히 감소하다가 3회 반복 이후부터 대체로 일정한 값으로 보이며, 상대밀도가 작을수록 큰 값을 나타낸다.

기존의 K_0 -이력모형들은 본 실험결과와 상당한 차이가 있으므로 차후 더 많은 실험을 통하여 개선해야 할 것으로 사료된다.

참 고 문 헌

1. Al-Hussaini, M. M. and Townsend, F.C. (1975) "Stress Deformation of Sand under K_0 Conditions," Proceedings, 5th Panamerican Conference on Soil Mechanics and Foundation Engineering, Vol.1, Buenos Aires, Argentina, pp.125-136.
2. Bishop, A.W., and Henkel, D.J.(1957) "The Measurement of Soil Properties in the Triaxial Test," Arnold, London.
3. Campanella, R.G. and Vaid, Y.P.(1972) "A Simple K_0 Triaxial Cell," Canadian Geotechnical Journal, Vol.9, No.3, pp.249-260.
4. Mayne, P.W. and F.H.Kulhawy.(1982) "Ko-OCR Relationships in Soil," Journal of the Geotechnical Engineering Division, ASCE, 108, GT6, pp.851-872
5. Ofer, Z.(1981) "Instruments for Laboratory and In-Situ Measurement of the Lateral Swelling Pressure of Expansive Clays," Proceeding, 4th International Conference on Expansive Soils, Denver, USA, pp.45-53.
6. Ofer, Z.(1981, 1982) "Laboratory Instrument for Measuring the Lateral Soil Pressure and Swelling Pressure, ASTM Geotechnical Testing Journal, Vol. 4, No. 4, pp. 177-182.
7. Ofer, Z.(1982) "Laboratory K_0 Testing of Cohesionless Soil," The Civil Engineering in South Africa, Vol. 24, No. 10, pp.533-545
8. Ofer, Z.(1984) "Laboratory Determination of K_0 and Comparison with Prototype Soil Observations," 4th Australia New Zealand Conference on Geotechnics, Perth, pp.14-18.
9. Ou, Chang-Yu (1988) "Finite Element Analysis of Compaction-Induced Stresses and Deformation," Ph. D. Thesis, Stanford University.
10. Seed, R.B.(1983) "Soil-Structure Interaction Effects of Compaction-Induced Stress and Deformations," Ph. D. Thesis, Univ. of California at Berkeley, 425 p.
11. Seed, R.D. and Duncan, J.M.(1983) "Soil-Structure Interaction Effects of Compaction-Induced Stresses and Deformations," Geotechnical Engineering Research Report No. UCB/GT/83-06, Univ. of California, Berkeley, CA.
12. Tatsuoka, F. and Ishihara, K.(1974) "Drained Deformation of Sand Under Cyclic Stresses Reversing Direction," Soils and Foundations, Vol. 14, No. 3, pp. 51-65.
13. Tatsuoka, F.(1974) "Deformation Characteristics of Sand, Ph. D.Dissertation, univ. of Tokyo.
14. Worth, C. P.(1975) "In-Situ Measurement of Initial Stresses and Deformation Characteristics," Proceedings, In-Situ Measurement of Soil Properties, ASCE, Vol.2, North Carolina State University, Raleigh, N.C., pp. 181-230.
15. Wright, S.G.(1969) "A Study of Slope Stability and Undrained Shear Strength of Clay Shales," Ph. D. Thesis, University of California at Berkeley.
16. 송무효 (1991) "다주기 K_0 -재하/제하에 의한 건조 모래의 거동", 동아대학교, 공학박사 학위논문.
17. 송무효, 정성교, 남선우, 정진교 (1994) " K_0 -재하/제하에 의한 건조모래의 거동(1): 단주기 시험", 한국지반공학회지, 제10권제4호 pp. 83-102.
18. 정성교, 정인준, 김명모 (1991) "뒹침 다짐에 의한 횡방향토압," 대한토목학회 논문집, 제 11권, 제2호, pp.51-64.

(접수일자 1994. 8. 16)